

# Géométrie Algorithmique

## Données, Modèles, Programmes

### 8. Géométrie des données

Jean-Daniel Boissonnat

Collège de France  
31 mai 2017

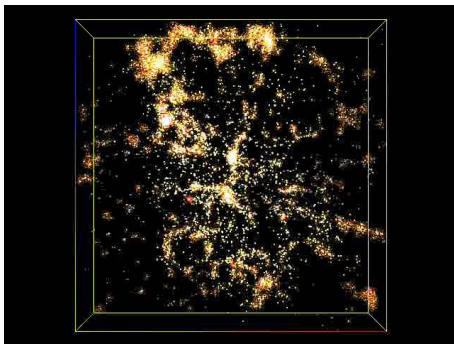
# Géométrie algorithmique

Données, modèles, programmes

- 1 Modèles géométriques discrets  
F. Cazals : Modèles géométriques pour la prédiction des interactions macro-moléculaires
- 2 La puissance de l'aléa : algorithmes randomisés  
P. Calka : Probabilités géométriques
- 3 Le calcul géométrique  
S. Pion : La bibliothèque logicielle CGAL
- 4 Génération de maillages  
J-M. Mirebeau : Les deux réductions de Voronoï et leur application aux équations aux dérivées partielles
- 5 Courbes et surfaces  
P. Alliez : Reconstruction de surfaces
- 6 Espaces de configurations  
A. de Mesmay : Dessin de graphes
- 7 Structures de données géométriques  
D. Feldman : Core sets
- 8 Géométrie des données  
F. Chazal : Analyse topologique des données

# Analyse géométrique des données

Images, texte, voix, signaux neuronaux, traces GPS,...



**Géométrisation** : Données = points + distances entre points

**Hypothèse** : Les données ont une structure géométrique de “petite” dimension intrinsèque

**Problème** : Inférer la structure à partir des données

## 1 Modèles géométriques pour les données

- Clusters
- Variétés

## 2 Robustesse au bruit et analyse multi-échelle

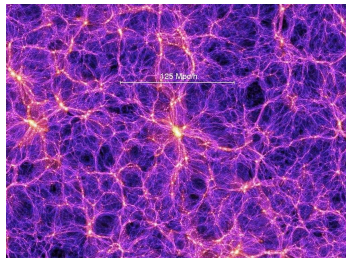
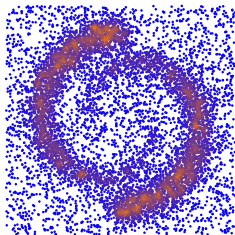
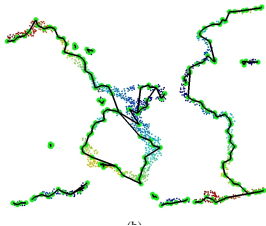
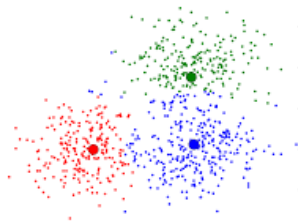
- Distance à la mesure
- Analyse multi-échelle, filtration et persistance

## 3 Géométrie de l'information



# Modèles géométriques pour les données

## Clusters et partitions des données



# Clusters centrés

**Définition** : une partition des données en  $k$  clusters  $C = \{C_1, \dots, C_k\}$  représentés par  $k$  « centres »  $c_1, \dots, c_k$

On peut chercher à optimiser différents critères :

●  **$k$ -centres** :  $\Phi(C) = \max_{j=1}^k \max_{p_i \in C_j} \|p_i - c_j\|$

●  **$k$ -médianes** :  $\Phi(C) = \sum_{j=1}^k \sum_{p_i \in C_j} \|p_i - c_j\|$

●  **$k$ -moyennes** :  $\Phi(C) = \sum_{j=1}^k \sum_{p_i \in C_j} \|p_i - c_j\|^2$

# Le problème des $k$ -centres

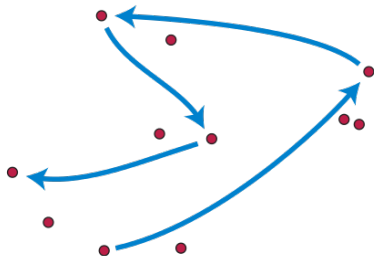
**Problème :** minimiser  $\Phi(C) = \max_{j=1}^k \max_{p_i \in C_j} \|p_i - c_j\|$

**Algorithme glouton (farthest traversal)**

1.  $c_1 :=$  un point de donnée quelconque

2. pour  $i = 2, 3, \dots, k,$

$c_i :=$  le point de donnée le plus loin des centres  $c_1, \dots, c_{i-1}$



# Le problème des $k$ -centres

L'algorithme glouton fournit une 2-approximation

Rayon de la partition  $C$  :  $\Phi(C) = \max_{j=1}^k \max_{p_i \in C_j} \|p_i - c_j\|$

**Lemme :**

S'il existe une solution  $C$  de rayon  $\Phi(C)$ , alors la solution  $\tilde{C}$  fournie par l'algorithme glouton est de rayon  $\Phi(\tilde{C}) \leq 2\Phi(C)$

Démonstration par l'absurde :  $c_1, \dots, c_k$  les centres fournis par l'algorithme

- Hyp. :  $\exists$  solution de rayon  $r/2$  et  $\exists p \in \mathcal{P}$ ,  $\forall i \in \{1, \dots, k\}$ ,  $\|p - \tilde{c}_i\| > r$   
 $\Rightarrow \forall i \in \{1, \dots, k\}$ ,  $\forall j \in \{1, \dots, i-1\}$ ,  $\|\tilde{c}_i - \tilde{c}_j\| > r$  (sinon prendre  $p$ )
- Les points  $\tilde{c}_1, \dots, \tilde{c}_k, p$  sont à distance  $> r$  les uns des autres  
 $\Rightarrow$  aucun de ces  $k+1$  pts ne peut appartenir au même cluster de rayon  $\leq r/2$
- Il n'existe pas de solution de rayon  $r/2$  avec  $k$  clusters

# Le problème des $k$ -centres

L'algorithme glouton fournit une 2-approximation

Rayon de la partition  $C$  :  $\Phi(C) = \max_{j=1}^k \max_{p_i \in C_j} \|p_i - c_j\|$

Lemme :

S'il existe une solution  $C$  de rayon  $\Phi(C)$ , alors la solution  $\tilde{C}$  fournie par l'algorithme glouton est de rayon  $\Phi(\tilde{C}) \leq 2\Phi(C)$

Démonstration par l'absurde :  $c_1, \dots, c_k$  les centres fournis par l'algorithme

- Hyp. :  $\exists$  solution de rayon  $r/2$  et  $\exists p \in \mathcal{P}$ ,  $\forall i \in \{1, \dots, k\}$ ,  $\|p - \tilde{c}_i\| > r$   
 $\Rightarrow \forall i \in \{1, \dots, k\}$ ,  $\forall j \in \{1, \dots, i-1\}$ ,  $\|\tilde{c}_i - \tilde{c}_j\| > r$  (sinon prendre  $p$ )
- Les points  $\tilde{c}_1, \dots, \tilde{c}_k, p$  sont à distance  $> r$  les uns des autres  
 $\Rightarrow$  aucun de ces  $k+1$  pts ne peut appartenir au même cluster de rayon  $\leq r/2$
- Il n'existe pas de solution de rayon  $r/2$  avec  $k$  clusters

# Algorithme glouton et nets

## Représentation multi-résolution d'un nuage de points

Notations :  $P_i = \{p_1, \dots, p_i\}$ ,  $r_i = d(p_i, P_{i-1})$

Comme  $P_i$  grossit avec  $i$  :  $j \geq i \Rightarrow r_j \leq r_i$

**Lemme** A chaque itération  $i > 0$ ,  $P_i$  est un  $r_i$ -net de  $\mathcal{P}$ .

### Démonstration

1.  $P_i$  est  $r_i$ -dense dans  $\mathcal{P}$
2.  $P_i$  est  $\lambda_i$ -séparé :  $p_a p_b$  plus proche paire dans  $P_i$ ,  $\|p_a - p_b\| = r_b \geq r_i$

# Algorithme glouton et nets

## Représentation multi-résolution d'un nuage de points

Notations :  $P_i = \{p_1, \dots, p_i\}$ ,  $r_i = d(p_i, P_{i-1})$

Comme  $P_i$  grossit avec  $i$  :  $j \geq i \Rightarrow r_j \leq r_i$

**Lemme** A chaque itération  $i > 0$ ,  $P_i$  est un  $r_i$ -net de  $\mathcal{P}$ .

### Démonstration

1.  $P_i$  est  $r_i$ -dense dans  $\mathcal{P}$
2.  $P_i$  est  $\lambda_i$ -séparé :  $p_a p_b$  plus proche paire dans  $P_i$ ,  $\|p_a - p_b\| = r_b \geq r_i$

# Le problème des $k$ -moyennes

**Problème** : minimiser  $\Phi(C) = \sum_{j=1}^k \sum_{p_i \in C_j} \|p_i - c_j\|^2$

**Lemme** : Soit un ensemble de points  $p_1, \dots, p_n$  de  $\mathbb{R}^d$ . Le point  $x$  qui minimise  $\sum_{i=1}^n \|x - p_i\|^2$  est le barycentre des  $p_i = \frac{1}{n} \sum_{i=1}^n p_i$

## Algorithme de Lloyd

1. **Initialisation** : prendre  $k$  centres
2. Répéter jusqu'à convergence les 2 étapes suivantes
  - 2.1 **Partition** : Associer chaque point de  $\mathcal{P}$  au centre le plus proche
  - 2.2 **Relaxation** : remplacer le centre d'un cluster par le barycentre correspondant



# Le problème des $k$ -moyennes

**Problème** : minimiser  $\Phi(C) = \sum_{j=1}^k \sum_{p_i \in C_j} \|p_i - c_j\|^2$

**Lemme** : Soit un ensemble de points  $p_1, \dots, p_n$  de  $\mathbb{R}^d$ . Le point  $x$  qui minimise  $\sum_{i=1}^n \|x - p_i\|^2$  est le barycentre des  $p_i = \frac{1}{n} \sum_{i=1}^n p_i$

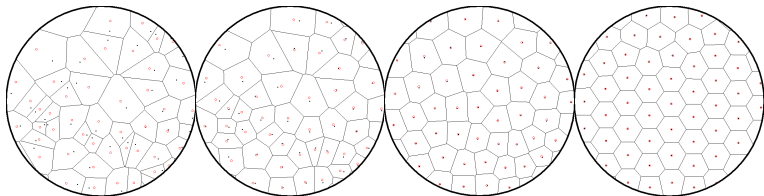
## Algorithme de Lloyd

1. **Initialisation** : prendre  $k$  centres
2. Répéter jusqu'à convergence les 2 étapes suivantes
  - 2.1 **Partition** : Associer chaque point de  $\mathcal{P}$  au centre le plus proche
  - 2.2 **Relaxation** : remplacer le centre d'un cluster par le barycentre correspondant

# Diagrammes de Voronoï centroïdaux

Application à la modélisation géométrique

[Du et al. 1999], [Alliez et col.]



Initial mesh



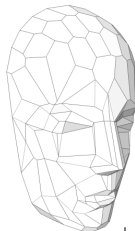
partition



optimized planes



meshing



# Complexité et qualité des approximations

- $k$ -centres,  $k$ -médianes et  $k$ -moyennes sont NP-difficiles
- Approcher  $k$ -centres à moins d'un facteur 1.86 est NP-difficile
- Des algorithmes approchés polynomiaux sont connus pour les 3 problèmes
- Une bonne initialisation permet de garantir à l'algorithme de Lloyd un facteur d'approximation  $\log k$  ( $k$ ++mean)
- Les clusters ne sont pas toujours centrés !

## 1 Modèles géométriques pour les données

- Clusters
- Variétés

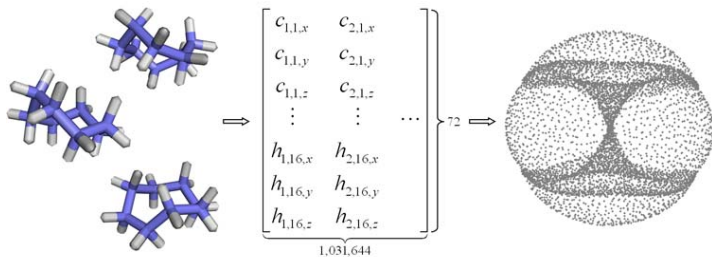
## 2 Robustesse au bruit et analyse multi-échelle

- Distance à la mesure
- Analyse multi-échelle, filtration et persistance

## 3 Géométrie de l'information

# Modèles géométriques pour les données

## Variétés



# Géométrie des séries temporelles

## Théorème de plongement de Takens

Un système dynamique :  $\phi : \mathbb{R} \times X \rightarrow X$

On s'intéresse aux ensembles invariants  $A \subset X : \phi(\mathbb{R}, A) = A$

Typiquement  $\dim(A) \ll \dim(X)$

On n'a pas accès directement à  $A$  mais on observe le système à intervalles réguliers avec une fonction scalaire  $\alpha : A \rightarrow \mathbb{R}$  et on définit

$$\psi(x) = (\alpha(x), \alpha(\phi(x)), \dots, \alpha(\phi^{k-1}(x))) \in \mathbb{R}^k$$

**Théorème de Takens** : si  $k > 2 \dim(A)$ , alors  $\psi$  est (génériquement) un plongement de  $A$  dans  $\mathbb{R}^k$

# Géométrie des séries temporelles

## Théorème de plongement de Takens

Un système dynamique :  $\phi : \mathbb{R} \times X \rightarrow X$

On s'intéresse aux ensembles invariants  $A \subset X : \phi(\mathbb{R}, A) = A$

Typiquement  $\dim(A) \ll \dim(X)$

On n'a pas accès directement à  $A$  mais on observe le système à intervalles réguliers avec une fonction scalaire  $\alpha : A \rightarrow \mathbb{R}$  et on définit

$$\psi(x) = (\alpha(x), \alpha(\phi(x)), \dots, \alpha(\phi^{k-1}(x))) \in \mathbb{R}^k$$

**Théorème de Takens** : si  $k > 2 \dim(A)$ , alors  $\psi$  est (génériquement) un plongement de  $A$  dans  $\mathbb{R}^k$

# Géométrie des séries temporelles

## Théorème de plongement de Takens

Un système dynamique :  $\phi : \mathbb{R} \times X \rightarrow X$

On s'intéresse aux ensembles invariants  $A \subset X : \phi(\mathbb{R}, A) = A$

Typiquement  $\dim(A) \ll \dim(X)$

On n'a pas accès directement à  $A$  mais on observe le système à intervalles réguliers avec une fonction scalaire  $\alpha : A \rightarrow \mathbb{R}$  et on définit

$$\psi(x) = (\alpha(x), \alpha(\phi(x)), \dots, \alpha(\phi^{k-1}(x))) \in \mathbb{R}^k$$

**Théorème de Takens** : si  $k > 2 \dim(A)$ , alors  $\psi$  est (génériquement) un plongement de  $A$  dans  $\mathbb{R}^k$



# Réduction de dimension

## Théorèmes de plongement

### Théorème de plongement de Whitney

Toute variété de dimension (intrinsèque)  $k$  peut être plongée dans  $\mathbb{R}^{2k+1}$

### Lemme à la Johnson Lindenstrauss pour les variétés

[Baraniuk & Wakin 2007] [Clarkson 2007]

Soit  $\mathbb{M}$  une  $k$ -sous-variété de  $\mathbb{R}^d$  de portée  $\tau$  positive et  $\epsilon \in (0, 1)$ . Si on projette  $\mathbb{M}$  sur un plan aléatoire  $H$  de dimension

$$k = \Omega\left(\frac{d}{\epsilon^2} \log \frac{1}{\epsilon} + \frac{1}{\epsilon^2} \log \frac{1}{\delta}\right),$$

alors, avec probabilité  $1 - \delta$ ,

$$\forall p, q \in \mathbb{M}, \quad (1 - \epsilon) \|p - q\|^2 \leq \|f(p) - f(q)\|^2 \leq (1 + \epsilon) \|p - q\|^2$$

$$\text{où } f(p) = \sqrt{\frac{d}{k}} \pi_H(p)$$

# Réduction de dimension

## Théorèmes de plongement

### Théorème de plongement de Whitney

Toute variété de dimension (intrinsèque)  $k$  peut être plongée dans  $\mathbb{R}^{2k+1}$

### Lemme à la Johnson Lindenstrauss pour les variétés

[Baraniuk & Wakin 2007] [Clarkson 2007]

Soit  $\mathbb{M}$  une  $k$ -sous-variété de  $\mathbb{R}^d$  de portée  $\tau$  positive et  $\epsilon \in (0, 1)$ . Si on projette  $\mathbb{M}$  sur un plan aléatoire  $H$  de dimension

$$k = \Omega\left(\frac{d}{\epsilon^2} \log \frac{1}{\epsilon} + \frac{1}{\epsilon^2} \log \frac{1}{\delta}\right),$$

alors, avec probabilité  $1 - \delta$ ,

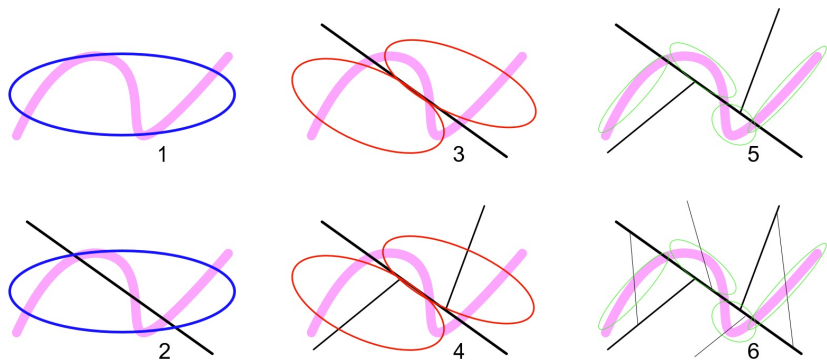
$$\forall p, q \in \mathbb{M}, \quad (1 - \epsilon) \|p - q\|^2 \leq \|f(p) - f(q)\|^2 \leq (1 + \epsilon) \|p - q\|^2$$

$$\text{où } f(p) = \sqrt{\frac{d}{k}} \pi_H(p)$$

# Approximation des variétés

## 1. Partitionnement

Arbres *kd* ou arbres RP + approximation locale dans chaque cellule

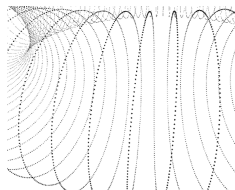
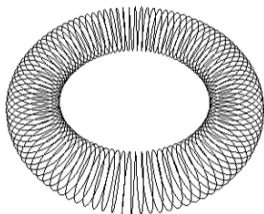
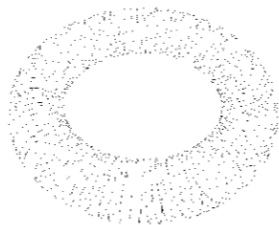


# Approximation des variétés

## Complexes simpliciaux

Reconstruction de complexes géométriquement et topologiquement fidèles

Quelle est la dimension de la variété ? quelle est sa portée ?



Deux difficultés :

- Choisir une échelle
- Rendre les méthodes robustes au bruit

## 1 Modèles géométriques pour les données

- Clusters
- Variétés

## 2 Robustesse au bruit et analyse multi-échelle

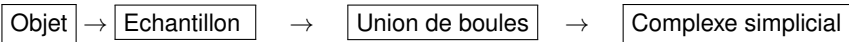
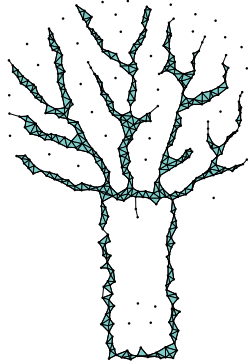
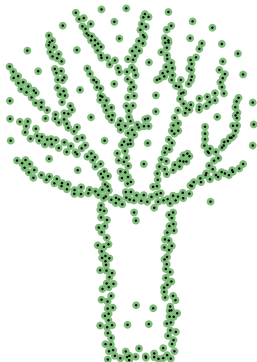
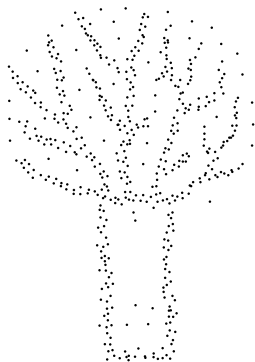
- Distance à la mesure
- Analyse multi-échelle, filtration et persistance

## 3 Géométrie de l'information

# Retour sur la reconstruction homotopique

Robustesse vis à vis des points aberrants

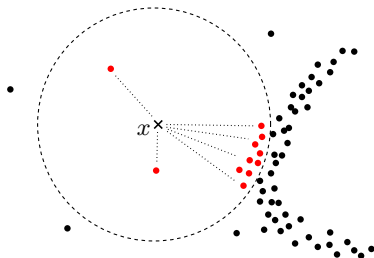
Hypothèse du cours 6 : bruit de faible ampleur vis à vis de la portée



# Distance à une mesure

[Chazal, Cohen-Steiner, Mérigot 2011]

A la recherche d'une distance robuste en présence de points aberrants



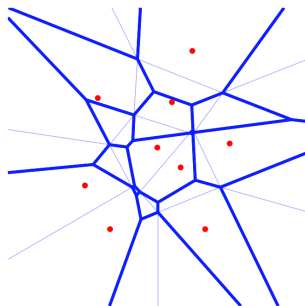
Distance à la mesure

$$d_{\mathcal{P},k}(x) = \left( \frac{1}{k} \sum_{i=1}^k \|x - p_i(x)\|^2 \right)^{\frac{1}{2}} \quad (p_i(x) = \text{ième ppv}(x) \in \mathcal{P})$$

# Distance à la mesure et diagrammes de Voronoï

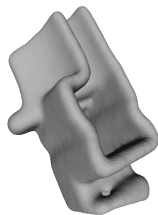
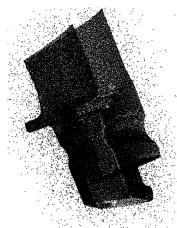
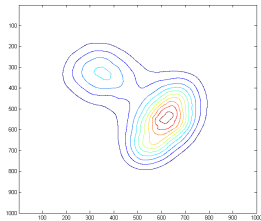
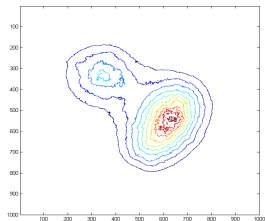
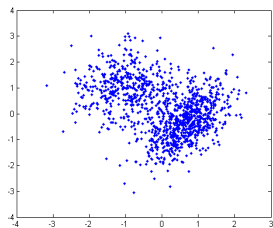
$$d_{\mathcal{P},k}^2(x) = \frac{1}{k} \sum_{i=1}^k \|x - p_i(x)\|^2 \quad (p_i(x) = \text{ième ppv}(x) \in \mathcal{P})$$

La distance à la mesure a une expression constante sur chaque cellule du diagramme de Voronoï d'ordre  $k$  de  $\mathcal{P}$





# Distance à la mesure et distance au $k$ -ième plus proche voisin



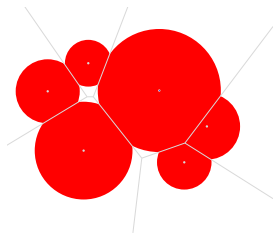
# Niveaux de la fonction distance à la mesure

$S_1, S_2, \dots$  les sous-ensembles de  $k$  points de  $\mathcal{P}$

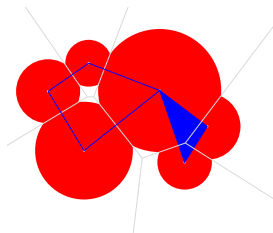
$$\delta(x, S_i) = \frac{1}{k} \sum_{p \in S_i} (x - p)^2 = \text{puissance de } x \text{ par rapport à } B_i = B(c_i, r_i)$$

$$\text{où } c_i = \frac{1}{k} \sum_{p \in S_i} p \quad \text{et} \quad r_i^2 = c_i^2 - \frac{1}{k} \sum_{p \in S_i} p^2$$

Les niveaux de la fonction distance à la mesure sont des unions de boules



Union de boules



$\alpha$ -complexe pondéré

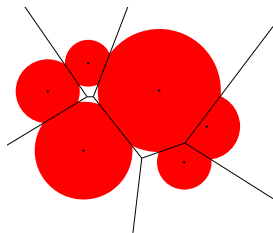
# Niveaux de la fonction distance à la mesure

$S_1, S_2, \dots$  les sous-ensembles de  $k$  points de  $\mathcal{P}$

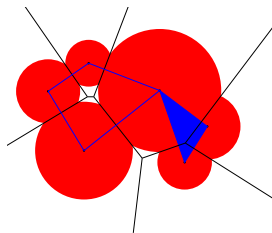
$$\delta(x, S_i) = \frac{1}{k} \sum_{p \in S_i} (x - p)^2 = \text{puissance de } x \text{ par rapport à } B_i = B(c_i, r_i)$$

$$\text{où } c_i = \frac{1}{k} \sum_{p \in S_i} p \text{ et } r_i^2 = c_i^2 - \frac{1}{k} \sum_{p \in S_i} p^2$$

Les niveaux de la fonction distance à la mesure sont des unions de boules



Union de boules



$\alpha$ -complexe pondéré

# Distance à une mesure de probabilité

Mesure uniforme sur un ens. fini de points  $\mathcal{P}$  :  $\mu_{\mathcal{P}}$   
(somme de  $n$  masses de Dirac  $= \frac{1}{n}$ )

$\mu$  une mesure de probabilité sur  $\mathbb{R}^d$

$m_0$  un paramètre

$$\forall x \in \mathbb{R}^d, \quad \delta_{\mu,m}(x) = \inf\{r \geq 0, \mu(B(x,r)) \geq m\}$$

$$\text{Distance à la mesure } \mu : \quad d_{\mu,m_0}(x) = \left( \frac{1}{m_0} \int_0^{m_0} \delta_{\mu,m}(x)^2 dm \right)^{\frac{1}{2}}$$

Support de  $\mu$  : ensemble  $K$  t.q.  $\mu(\mathbb{R}^d \setminus K) = 0$

Dimension de  $\mu$  :  $\dim(\mu) =$  le plus grand entier  $\kappa$

$$\exists C > 0, \forall x \in K, \forall r \leq \text{diam}(K) : \quad \mu(B(x,r)) \geq Cr^{\kappa}$$

# Distance à une mesure de probabilité

Mesure uniforme sur un ens. fini de points  $\mathcal{P}$  :  $\mu_{\mathcal{P}}$   
(somme de  $n$  masses de Dirac  $= \frac{1}{n}$ )

$\mu$  une mesure de probabilité sur  $\mathbb{R}^d$

$m_0$  un paramètre

$$\forall x \in \mathbb{R}^d, \quad \delta_{\mu,m}(x) = \inf\{r \geq 0, \mu(B(x,r)) \geq m\}$$

Distance à la mesure  $\mu$  :  $d_{\mu,m_0}(x) = \left( \frac{1}{m_0} \int_0^{m_0} \delta_{\mu,m}(x)^2 dm \right)^{\frac{1}{2}}$

Support de  $\mu$  : ensemble  $K$  t.q.  $\mu(\mathbb{R}^d \setminus K) = 0$

Dimension de  $\mu$  :  $\dim(\mu) =$  le plus grand entier  $\kappa$

$$\exists C > 0, \forall x \in K, \forall r \leq \text{diam}(K) : \mu(B(x,r)) \geq Cr^{\kappa}$$

# Distance à une mesure de probabilité

Mesure uniforme sur un ens. fini de points  $\mathcal{P}$  :  $\mu_{\mathcal{P}}$   
(somme de  $n$  masses de Dirac  $= \frac{1}{n}$ )

$\mu$  une mesure de probabilité sur  $\mathbb{R}^d$

$m_0$  un paramètre

$$\forall x \in \mathbb{R}^d, \quad \delta_{\mu,m}(x) = \inf\{r \geq 0, \mu(B(x,r)) \geq m\}$$

Distance à la mesure  $\mu$  :  $d_{\mu,m_0}(x) = \left( \frac{1}{m_0} \int_0^{m_0} \delta_{\mu,m}(x)^2 dm \right)^{\frac{1}{2}}$

Support de  $\mu$  : ensemble  $K$  t.q.  $\mu(\mathbb{R}^d \setminus K) = 0$

Dimension de  $\mu$  :  $\dim(\mu) =$  le plus grand entier  $\kappa$

$$\exists C > 0, \forall x \in K, \forall r \leq \text{diam}(K) : \mu(B(x,r)) \geq Cr^{\kappa}$$

# Distance à une mesure de probabilité

Mesure uniforme sur un ens. fini de points  $\mathcal{P}$  :  $\mu_{\mathcal{P}}$   
(somme de  $n$  masses de Dirac  $= \frac{1}{n}$ )

$\mu$  une mesure de probabilité sur  $\mathbb{R}^d$

$m_0$  un paramètre

$$\forall x \in \mathbb{R}^d, \quad \delta_{\mu,m}(x) = \inf\{r \geq 0, \mu(B(x,r)) \geq m\}$$

Distance à la mesure  $\mu$  :  $d_{\mu,m_0}(x) = \left( \frac{1}{m_0} \int_0^{m_0} \delta_{\mu,m}(x)^2 dm \right)^{\frac{1}{2}}$

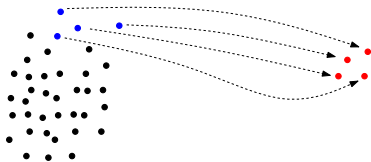
Support de  $\mu$  : ensemble  $K$  t.q.  $\mu(\mathbb{R}^d \setminus K) = 0$

Dimension de  $\mu$  :  $\dim(\mu) =$  le plus grand entier  $\kappa$

$$\exists C > 0, \forall x \in K, \forall r \leq \text{diam}(K) : \mu(B(x,r)) \geq Cr^{\kappa}$$

# Distance de Wasserstein

Cas de deux ensembles finis de points  $\mathcal{P}_1$  et  $\mathcal{P}_2$



Plan de transport  $\pi$

Ensemble  $\{\pi_{i_1 i_2}, i_1 \leq n_1, i_2 \leq n_2\}$  t. q.

1.  $\pi_{i_1 i_2} \geq 0$
2.  $\sum_{i_1=1}^{n_1} \pi_{i_1 i_2} = n_2$
3.  $\sum_{i_2=1}^{n_2} \pi_{i_1 i_2} = n_1$

Coût d'un plan de transport :  $C(\pi) = \left( \sum_{i_1, i_2} \|p_{i_1} - p_{i_2}\|^2 \pi_{i_1 i_2} \right)^{1/2}$

Distance de Wasserstein :  $d_W(\mathcal{P}_1, \mathcal{P}_2) = \inf_{\pi} C(\pi)$

**Remarque** : Si  $\mathcal{P}_1 = \{p_1, \dots, p_n\}$  et  $\mathcal{P}_2 = \{p_1, \dots, p_{n-k-1}, q_1, \dots, q_k\}$  avec  $d(q_i, \mathcal{P}_1) = R$ , alors

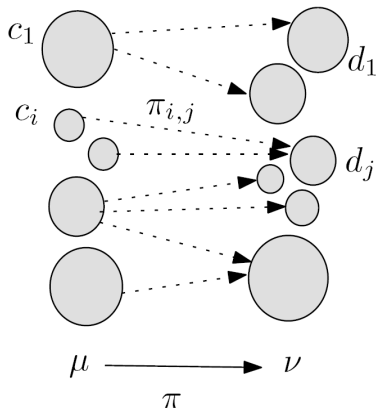
$$d_H(\mathcal{P}_1, \mathcal{P}_2) \geq R$$

$$d_W(\mathcal{P}_1, \mathcal{P}_2) \leq \sqrt{\frac{k}{n}} (R + \text{diam}(C))$$



# Distance de Wasserstein

Cas de deux mesures de probabilité  $\mu$  et  $\nu$  sur  $\mathbb{R}^d$



Plan de transport entre  $\mu$  et  $\nu$

Une mesure de probabilité  $\pi$  sur  $\mathbb{R}^d \times \mathbb{R}^d$  t.q.  $\forall X, Y \subset \mathbb{R}^d$

1.  $\pi(X \times \mathbb{R}^d) = \mu(X)$
2.  $\pi(\mathbb{R}^d \times Y) = \mu(Y)$

Coût d'un plan de transport :  $C(\pi) = \left( \int_{\mathbb{R}^d \times \mathbb{R}^d} \|x - y\|^2 d\pi(x, y) \right)^{1/2}$

Distance de Wasserstein :  $d_W(\mu, \nu) = \inf_{\pi} C(\pi)$

# Distance de Wasserstein

Lemme de stabilité et reconstruction

[Chazal, Cohen-Steiner, Mérigot 2011]

## Lemme de stabilité

Si deux mesures sont proches au sens de Wasserstein, les distances à ces mesures sont proches au sens de la norme  $L_\infty$

## Corollaire

Soit  $\mu$  une mesure de probabilité de dimension  $\dim(\mu)$  et de support  $K$ , et soit  $\mu_{\mathcal{P}}$  la mesure uniforme sur un échantillon  $\mathcal{P}$ . Alors

$$\|d_{\mathcal{P},k} - d_K\|_\infty \leq \sqrt{\frac{n}{k}} d_W(\mu, \mu_{\mathcal{P}}) + C \left(\frac{k}{n}\right)^{\frac{1}{\dim(\mu)}}$$

## Reconstruction

Si  $d_W(\mu, \mu_{\mathcal{P}})$  est suffisamment petit, les  $\alpha$ -niveaux de  $d_{\mathcal{P},k}$  sont homotopiquement équivalents aux  $\beta$ -offsets de  $K$  (pour certaines plages de valeurs de  $\alpha$  et  $\beta$ )

# Distance de Wasserstein

Lemme de stabilité et reconstruction

[Chazal, Cohen-Steiner, Mérigot 2011]

## Lemme de stabilité

Si deux mesures sont proches au sens de Wasserstein, les distances à ces mesures sont proches au sens de la norme  $L_\infty$

## Corollaire

Soit  $\mu$  une mesure de probabilité de dimension  $\dim(\mu)$  et de support  $K$ , et soit  $\mu_{\mathcal{P}}$  la mesure uniforme sur un échantillon  $\mathcal{P}$ . Alors

$$\|d_{\mathcal{P},k} - d_K\|_\infty \leq \sqrt{\frac{n}{k}} d_W(\mu, \mu_{\mathcal{P}}) + C \left(\frac{k}{n}\right)^{\frac{1}{\dim(\mu)}}$$

## Reconstruction

Si  $d_W(\mu, \mu_{\mathcal{P}})$  est suffisamment petit, les  $\alpha$ -niveaux de  $d_{\mathcal{P},k}$  sont homotopiquement équivalents aux  $\beta$ -offsets de  $K$  (pour certaines plages de valeurs de  $\alpha$  et  $\beta$ )

# Distance de Wasserstein

Lemme de stabilité et reconstruction

[Chazal, Cohen-Steiner, Mérigot 2011]

## Lemme de stabilité

Si deux mesures sont proches au sens de Wasserstein, les distances à ces mesures sont proches au sens de la norme  $L_\infty$

## Corollaire

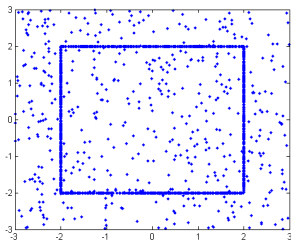
Soit  $\mu$  une mesure de probabilité de dimension  $\dim(\mu)$  et de support  $K$ , et soit  $\mu_{\mathcal{P}}$  la mesure uniforme sur un échantillon  $\mathcal{P}$ . Alors

$$\|d_{\mathcal{P},k} - d_K\|_\infty \leq \sqrt{\frac{n}{k}} d_W(\mu, \mu_{\mathcal{P}}) + C \left(\frac{k}{n}\right)^{\frac{1}{\dim(\mu)}}$$

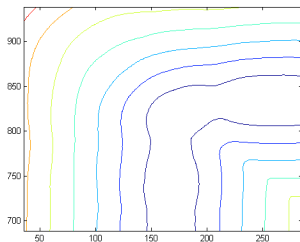
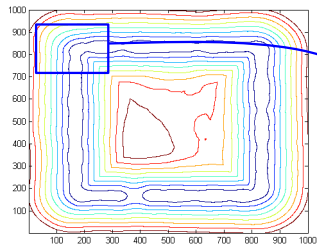
## Reconstruction

Si  $d_W(\mu, \mu_{\mathcal{P}})$  est suffisamment petit, les  $\alpha$ -niveaux de  $d_{\mathcal{P},k}$  sont homotopiquement équivalents aux  $\beta$ -offsets de  $K$  (pour certaines plages de valeurs de  $\alpha$  et  $\beta$ )

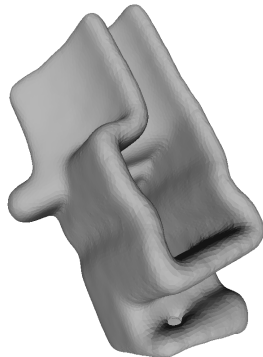
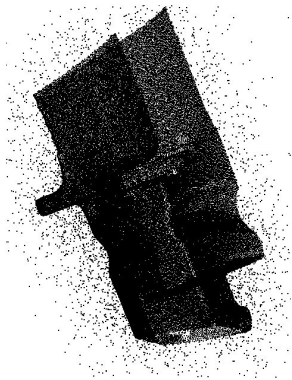
# Niveaux de la distance à une mesure



2300 points, 20% outliers



# Reconstruction d'un objet 3d bruité



10% de points aberrants

## Conclusion sur la distance à la mesure

- Pas d'hypothèse sur la nature du bruit
- $d_{k,\mathcal{P}}$  se comporte de façon analogue à une distance
- On peut évaluer son gradient
- Autres applications : estimation de densité, détection de clusters
- Algorithmes d'approximation rapides

## 1 Modèles géométriques pour les données

- Clusters
- Variétés

## 2 Robustesse au bruit et analyse multi-échelle

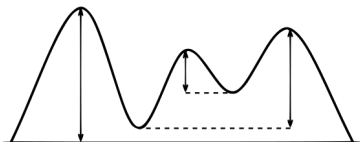
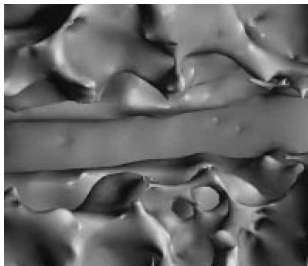
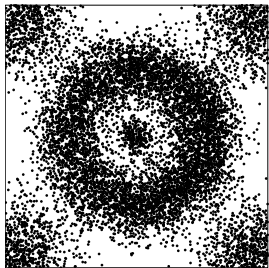
- Distance à la mesure
- Analyse multi-échelle, filtration et persistance

## 3 Géométrie de l'information



# Analyse multi-échelle

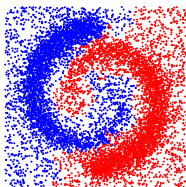
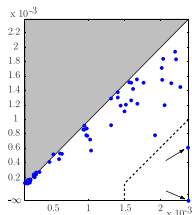
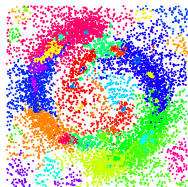
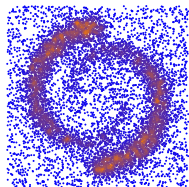
## Clusters et culminance



# La détection de clusters

L'algorithme Tomato (Topological Mode Analysis Tool)

[Chazal et al. 2013]



1. Construire un graphe de voisinage  $G$
2. Estimer la densité du nuage de points en chaque sommet de  $G$
3. Identifier les maxima de densité et les bassins versants associés
4. Rechercher les modes culminants (persistants) et fusionner les bassins versants associés

Le **diagramme de persistance** associe un point à chaque composante connexe  $C$  des surniveaux de la fonction densité. L'abscisse (ordonnée) du point est la valeur de la densité quand  $C$  est créée (supprimée)

# Filtration d'un complexe simplicial

- 1 Une filtration de  $K$  est une suite de sous-complexes de  $K$

$$\emptyset = K^0 \subset K^1 \subset \dots \subset K^m = K$$

t.q. :  $K^{i+1} = K^i \cup \sigma^{i+1}$ , où  $\sigma^{i+1}$  est un simplexe de  $K$

- 2 De manière équivalente, une filtration de  $K$  est une suite ordonnée  $\sigma_1, \dots, \sigma_m$  des simplexes de  $K$  t.q. l'ensemble  $K^i$  des premiers  $i$  simplexes est un sous-complexe de  $K$

Cet ordre range les simplexes par dimensions croissantes

Les filtrations jouent un rôle central dans la théorie de la persistance

# Filtration d'un complexe simplicial

- 1 Une filtration de  $K$  est une suite de sous-complexes de  $K$

$$\emptyset = K^0 \subset K^1 \subset \dots \subset K^m = K$$

t.q. :  $K^{i+1} = K^i \cup \sigma^{i+1}$ , où  $\sigma^{i+1}$  est un simplexe de  $K$

- 2 De manière équivalente, une filtration de  $K$  est une suite ordonnée  $\sigma_1, \dots, \sigma_m$  des simplexes de  $K$  t.q. l'ensemble  $K^i$  des premiers  $i$  simplexes est un sous-complexe de  $K$

Cet ordre range les simplexes par dimensions croissantes

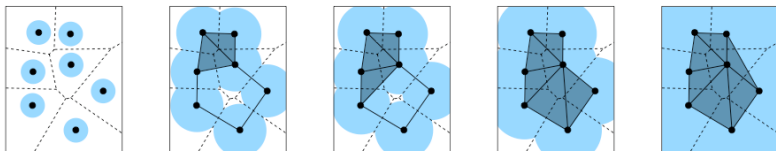
Les filtrations jouent un rôle central dans la théorie de la persistance

# Filtration de Delaunay

$P$  un ensemble fini de points de  $\mathbb{R}^d$

$$U(\alpha) = \bigcup_{p \in P} B(p, \alpha)$$

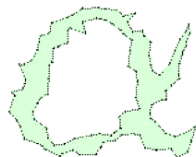
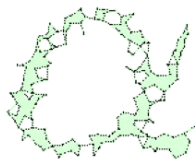
$$\alpha\text{-complexe} = \text{Del}_{|U(\alpha)}(P) \simeq U(\alpha)$$



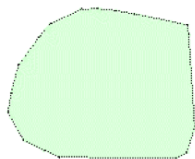
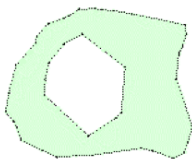
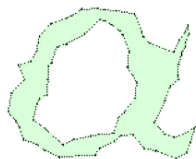
Filtration de Delaunay de  $\mathcal{P}$  :  $\{\text{Del}_{|U(\alpha)}(\mathcal{P}), \alpha \in \mathbb{R}^+\}$

- Un nombre fini de valeurs  $\alpha$  critiques  $\alpha_0 = 0, \alpha_1, \dots, \alpha_m = +\infty$
- Une suite de complexes emboîtés  $\text{Del}_{|U(\alpha_0)}(\mathcal{P}) \subset \dots \subset \text{Del}_{|U(\alpha_\infty)}(\mathcal{P})$
- Représentation : associer à chaque  $\sigma \in \text{Del}(\mathcal{P})$  une **valeur de filtration**  
 $\text{min\_cc\_empty\_ball}(\sigma)$

## Reconstruction de formes avec les $\alpha$ -complexes



Alpha Controls the desired level of detail.



$$\alpha = \infty$$

# Pour en savoir plus sur la persistance topologique

- Séminaire de F. Chazal
- Les colloques des 6 et 8 juin au Collège de France
- Le projet Gudhi (Geometry Understanding in Higher Dimensions) et la bibliothèque Gudhi  
<https://project.inria.fr/gudhi/>

## 1 Modèles géométriques pour les données

- Clusters
- Variétés

## 2 Robustesse au bruit et analyse multi-échelle

- Distance à la mesure
- Analyse multi-échelle, filtration et persistance

## 3 Géométrie de l'information



# Géométrie de l'information

## Espaces statistiques

Un point représente une loi de probabilité, par exemple la gaussienne isotrope définie dans  $\mathbb{R}^d$

$$f(x, \mu, \sigma) = \frac{1}{\sqrt{2\pi}\sigma} \exp\left(\frac{-\|x - \mu\|}{2\sigma^2}\right)$$

peut être représentée par le point  $(\mu, \sigma)$  dans l'espace

$$H = \{(\mu, \sigma) \in \mathbb{R}^{d+1}, \sigma > 0\}$$

Quelle distance dans ces espaces ?

- La métrique de Fischer : fournit une structure riemannienne
- Divergences de Kullback-Leibler, Itakura-Saito, etc.

# Géométrie de l'information

## Espaces statistiques

Un point représente une loi de probabilité, par exemple la gaussienne isotrope définie dans  $\mathbb{R}^d$

$$f(x, \mu, \sigma) = \frac{1}{\sqrt{2\pi}\sigma} \exp\left(\frac{-\|x - \mu\|}{2\sigma^2}\right)$$

peut être représentée par le point  $(\mu, \sigma)$  dans l'espace

$$H = \{(\mu, \sigma) \in \mathbb{R}^{d+1}, \sigma > 0\}$$

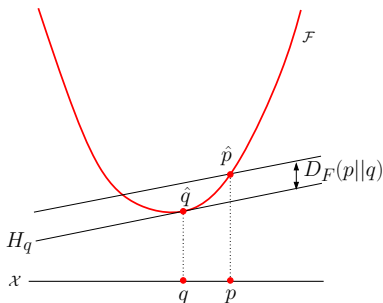
Quelle distance dans ces espaces ?

- La métrique de Fischer : fournit une structure riemannienne
- Divergences de Kullback-Leibler, Itakura-Saito, etc.

# Divergences de Bregman

$F$  une fonction strictement convexe et différentiable définie sur un ensemble convexe  $\mathcal{X}$

$$D_F(\mathbf{p}, \mathbf{q}) = F(\mathbf{p}) - F(\mathbf{q}) - \langle \mathbf{p} - \mathbf{q}, \nabla F(\mathbf{q}) \rangle$$



$D_F$  n'est **pas** une distance mais  $D_F(\mathbf{p}, \mathbf{q}) \geq 0$  et  $D_F(\mathbf{p}, \mathbf{q}) = 0$  ssi  $\mathbf{p} = \mathbf{q}$

# Exemples de divergences de Bregman

- $F(x) = x^2$  : Distance euclidienne au carré

$$D_F(\mathbf{p}, \mathbf{q}) = F(\mathbf{p}) - F(\mathbf{q}) - \langle \mathbf{p} - \mathbf{q}, \nabla F(\mathbf{q}) \rangle = \mathbf{p}^2 - \mathbf{q}^2 - \langle \mathbf{p} - \mathbf{q}, 2\mathbf{q} \rangle = \|\mathbf{p} - \mathbf{q}\|^2$$

- $F(p) = \sum p(x) \log_2 p(x)$  (entropie de Shannon)  
 $D_F(p, q) = \sum_x p(x) \log_2 \frac{p(x)}{q(x)}$  (divergence K-L)
- $F(p) = -\sum_x \log p(x)$  (entropie de Burg)  
 $D_F(p, q) = \sum_x \left( \frac{p(x)}{q(x)} \log \frac{p(x)}{q(x)} - 1 \right)$  (Itakura-Saito)

# Exemples de divergences de Bregman

- $F(x) = x^2$  : Distance euclidienne au carré

$$D_F(\mathbf{p}, \mathbf{q}) = F(\mathbf{p}) - F(\mathbf{q}) - \langle \mathbf{p} - \mathbf{q}, \nabla F(\mathbf{q}) \rangle = \mathbf{p}^2 - \mathbf{q}^2 - \langle \mathbf{p} - \mathbf{q}, 2\mathbf{q} \rangle = \|\mathbf{p} - \mathbf{q}\|^2$$

- $F(p) = \sum p(x) \log_2 p(x)$  (entropie de Shannon)  
 $D_F(p, q) = \sum_x p(x) \log_2 \frac{p(x)}{q(x)}$  (divergence K-L)

- $F(p) = -\sum_x \log p(x)$  (entropie de Burg)  
 $D_F(p, q) = \sum_x \left( \frac{p(x)}{q(x)} \log \frac{p(x)}{q(x)} - 1 \right)$  (Itakura-Saito)

# Exemples de divergences de Bregman

- $F(x) = x^2$  : Distance euclidienne au carré

$$D_F(\mathbf{p}, \mathbf{q}) = F(\mathbf{p}) - F(\mathbf{q}) - \langle \mathbf{p} - \mathbf{q}, \nabla F(\mathbf{q}) \rangle = \mathbf{p}^2 - \mathbf{q}^2 - \langle \mathbf{p} - \mathbf{q}, 2\mathbf{q} \rangle = \|\mathbf{p} - \mathbf{q}\|^2$$

- $F(p) = \sum p(x) \log_2 p(x)$  (entropie de Shannon)  
 $D_F(p, q) = \sum_x p(x) \log_2 \frac{p(x)}{q(x)}$  (divergence K-L)
- $F(p) = -\sum_x \log p(x)$  (entropie de Burg)  
 $D_F(p, q) = \sum_x \left( \frac{p(x)}{q(x)} \log \frac{p(x)}{q(x)} - 1 \right)$  (Itakura-Saito)

# Bisecteurs

$$D_F(\mathbf{p}, \mathbf{q}) = F(\mathbf{p}) - F(\mathbf{q}) - \langle \mathbf{p} - \mathbf{q}, \nabla F(\mathbf{q}) \rangle$$

## Deux types de bisecteurs

$$H_{pq} : D_F(\mathbf{x}, \mathbf{p}) = D_F(\mathbf{x}, \mathbf{q}) \quad (\text{hyperplan})$$

$$H_{pq}^* : D_F(\mathbf{p}, \mathbf{x}) = D_F(\mathbf{q}, \mathbf{x}) \quad (\text{hypersurface})$$

## Diagrammes de Bregman

- Deux types de diagrammes de Bregman
- Par la dualité de Legendre :  $D_F(\mathbf{x}, \mathbf{y}) = D_{F^*}(\mathbf{y}', \mathbf{x}')$  ( $\mathbf{x}' = \nabla F(\mathbf{x})$ )

# Bisecteurs

$$D_F(\mathbf{p}, \mathbf{q}) = F(\mathbf{p}) - F(\mathbf{q}) - \langle \mathbf{p} - \mathbf{q}, \nabla F(\mathbf{q}) \rangle$$

## Deux types de bisecteurs

$$H_{pq} : D_F(\mathbf{x}, \mathbf{p}) = D_F(\mathbf{x}, \mathbf{q}) \quad (\text{hyperplan})$$

$$H_{pq}^* : D_F(\mathbf{p}, \mathbf{x}) = D_F(\mathbf{q}, \mathbf{x}) \quad (\text{hypersurface})$$

## Diagrammes de Bregman

- Deux types de diagrammes de Bregman
- Par la dualité de Legendre :  $D_F(\mathbf{x}, \mathbf{y}) = D_{F^*}(\mathbf{y}', \mathbf{x}') \quad (\mathbf{x}' = \nabla F(\mathbf{x}))$



# Diagrammes de Bregman

[Boissonnat, Nielsen, Nock 2010]

Le diagramme de Bregman du **1er type** de  $\mathcal{P} = \{\mathbf{p}_1, \dots, \mathbf{p}_n\}$  est le diagramme de minimisation des  $n$  fonctions  $D_F(\mathbf{x}, \mathbf{p}_i)$ ,  $i = 1, \dots, n$

On déduit de

$$\arg \min(D_F(\mathbf{x}, \mathbf{p}_i)) = \arg \max(h_i(\mathbf{x}) = \langle \mathbf{x} - \mathbf{p}_i, \mathbf{p}'_i \rangle - F(\mathbf{p}_i))$$

que le diagramme de Bregman du 1er type de  $\mathcal{P}$  est **affine**

Le diagramme de Bregman du **2ième type** of  $\mathcal{P}$  est le diagramme de minimisation (courbe) des  $n$  fonctions  $D_F(\mathbf{p}_i, \mathbf{x})$ ,  $i = 1, \dots, n$

# Diagrammes de Bregman

[Boissonnat, Nielsen, Nock 2010]

Le diagramme de Bregman du **1er type** de  $\mathcal{P} = \{\mathbf{p}_1, \dots, \mathbf{p}_n\}$  est le diagramme de minimisation des  $n$  fonctions  $D_F(\mathbf{x}, \mathbf{p}_i)$ ,  $i = 1, \dots, n$

On déduit de

$$\arg \min(D_F(\mathbf{x}, \mathbf{p}_i)) = \arg \max(h_i(\mathbf{x}) = \langle \mathbf{x} - \mathbf{p}_i, \mathbf{p}'_i \rangle - F(\mathbf{p}_i))$$

que le diagramme de Bregman du 1er type de  $\mathcal{P}$  est **affine**

Le diagramme de Bregman du **2ième type** of  $\mathcal{P}$  est le diagramme de minimisation (courbe) des  $n$  fonctions  $D_F(\mathbf{p}_i, \mathbf{x})$ ,  $i = 1, \dots, n$

# Diagrammes de Bregman

[Boissonnat, Nielsen, Nock 2010]

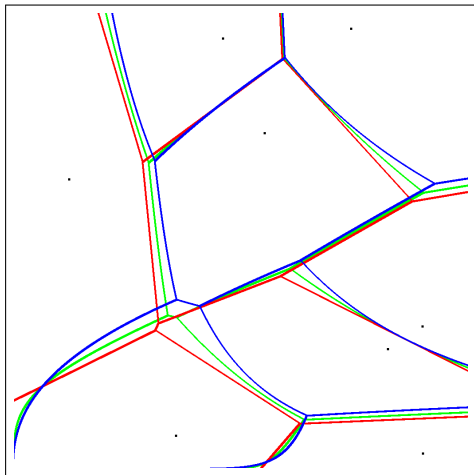
Le diagramme de Bregman du **1er type** de  $\mathcal{P} = \{\mathbf{p}_1, \dots, \mathbf{p}_n\}$  est le diagramme de minimisation des  $n$  fonctions  $D_F(\mathbf{x}, \mathbf{p}_i)$ ,  $i = 1, \dots, n$

On déduit de

$$\arg \min(D_F(\mathbf{x}, \mathbf{p}_i)) = \arg \max(h_i(\mathbf{x}) = \langle \mathbf{x} - \mathbf{p}_i, \mathbf{p}_i' \rangle - F(\mathbf{p}_i))$$

que le diagramme de Bregman du 1er type de  $\mathcal{P}$  est **affine**

Le diagramme de Bregman du **2ième type** of  $\mathcal{P}$  est le diagramme de minimisation (courbe) des  $n$  fonctions  $D_F(\mathbf{p}_i, \mathbf{x})$ ,  $i = 1, \dots, n$



# Diagrammes de Bregman et diagrammes de Laguerre

The diagramme de Bregman du **1er type** d'un ensemble de  $n$  sites de  $\mathcal{P}$  est identique au diagramme de **Laguerre** de  $n$  hypersphères euclidiennes centrées aux points  $\mathbf{p}'_i$

$$\begin{aligned} & D_F(\mathbf{x}, \mathbf{p}_i) \leq D_F(\mathbf{x}, \mathbf{p}_j) \\ \iff & -F(\mathbf{p}_i) - \langle \mathbf{x} - \mathbf{p}_i, \mathbf{p}'_i \rangle \leq -F(\mathbf{p}_j) - \langle \mathbf{x} - \mathbf{p}_j, \mathbf{p}'_j \rangle \\ \iff & \langle \mathbf{x}, \mathbf{x} \rangle - 2\langle \mathbf{x}, \mathbf{p}'_i \rangle - 2F(\mathbf{p}_i) + 2\langle \mathbf{p}_i, \mathbf{p}'_i \rangle \leq \langle \mathbf{x}, \mathbf{x} \rangle - 2\langle \mathbf{x}, \mathbf{p}'_j \rangle - 2F(\mathbf{p}_j) + 2\langle \mathbf{p}_j, \mathbf{p}'_j \rangle \\ \iff & \langle \mathbf{x} - \mathbf{p}'_i, \mathbf{x} - \mathbf{p}'_i \rangle - r_i^2 \leq \langle \mathbf{x} - \mathbf{p}'_j, \mathbf{x} - \mathbf{p}'_j \rangle - r_j^2 \end{aligned}$$

$$\text{où } r_l^2 = \langle \mathbf{p}'_l, \mathbf{p}'_l \rangle + 2(F(\mathbf{p}_l) - \langle \mathbf{p}_l, \mathbf{p}'_l \rangle)$$

# Diagrammes de Bregman et diagrammes de Laguerre

The diagramme de Bregman du **1er type** d'un ensemble de  $n$  sites de  $\mathcal{P}$  est identique au diagramme de **Laguerre** de  $n$  hypersphères euclidiennes centrées aux points  $\mathbf{p}'_i$

$$\begin{aligned} D_F(\mathbf{x}, \mathbf{p}_i) &\leq D_F(\mathbf{x}, \mathbf{p}_j) \\ \iff -F(\mathbf{p}_i) - \langle \mathbf{x} - \mathbf{p}_i, \mathbf{p}'_i \rangle &\leq -F(\mathbf{p}_j) - \langle \mathbf{x} - \mathbf{p}_j, \mathbf{p}'_j \rangle \\ \iff \langle \mathbf{x}, \mathbf{x} \rangle - 2\langle \mathbf{x}, \mathbf{p}'_i \rangle - 2F(\mathbf{p}_i) + 2\langle \mathbf{p}_i, \mathbf{p}'_i \rangle &\leq \langle \mathbf{x}, \mathbf{x} \rangle - 2\langle \mathbf{x}, \mathbf{p}'_j \rangle - 2F(\mathbf{p}_j) + 2\langle \mathbf{p}_j, \mathbf{p}'_j \rangle \\ \iff \langle \mathbf{x} - \mathbf{p}'_i, \mathbf{x} - \mathbf{p}'_i \rangle - r_i^2 &\leq \langle \mathbf{x} - \mathbf{p}'_j, \mathbf{x} - \mathbf{p}'_j \rangle - r_j^2 \end{aligned}$$

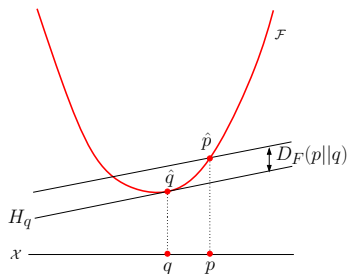
où  $r_l^2 = \langle \mathbf{p}'_l, \mathbf{p}'_l \rangle + 2(F(\mathbf{p}_l) - \langle \mathbf{p}_l, \mathbf{p}'_l \rangle)$

# Sphères de Bregman

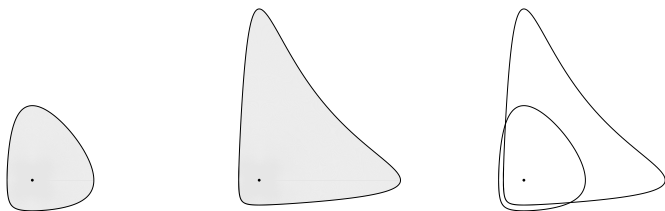
**Définition :**  $\sigma(\mathbf{c}, r) = \{\mathbf{x} \in \mathcal{X} \mid D_F(\mathbf{x}, \mathbf{c}) = r\}$

**Lemme** Le relèvement  $\hat{\sigma}$  sur  $\mathcal{F}$  d'une sphère de Bregman  $\sigma$  is contenue dans un hyperplan  $H_\sigma$

Inversement, l'intersection de tout hyperplan  $H$  avec  $\mathcal{F}$  se projette verticalement sur une sphère de Bregman



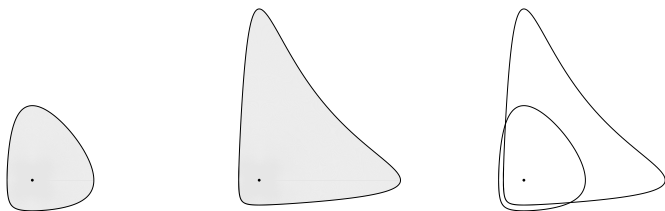
# Unions de boules de Bregman des types 1 et 2



- La **complexité combinatoire et algorithmique** d'une union de boules de Bregman est la même que pour les boules euclidiennes
- Le nerf d'un ensemble fini de boules de Bregman du 1er type a le **même type d'homotopie** que leur union (théorème du nerf)
- Il va en va de même pour les unions de boules du 2ième type (via la transformation de Legendre qui est un homéomorphisme (si  $F$  est une fonction de Legendre))

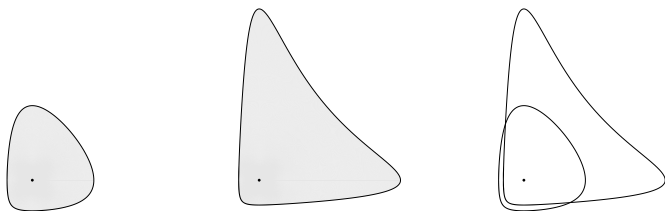


## Unions de boules de Bregman des types 1 et 2



- La **complexité combinatoire et algorithmique** d'une union de boules de Bregman est la même que pour les boules euclidiennes
- Le nerf d'un ensemble fini de boules de Bregman du 1er type a le **même type d'homotopie** que leur union (théorème du nerf)
- Il va en va de même pour les unions de boules du 2ième type (via la transformation de Legendre qui est un homéomorphisme (si  $F$  est une fonction de Legendre))

## Unions de boules de Bregman des types 1 et 2



- La **complexité combinatoire et algorithmique** d'une union de boules de Bregman est la même que pour les boules euclidiennes
- Le nerf d'un ensemble fini de boules de Bregman du 1er type a le **même type d'homotopie** que leur union (théorème du nerf)
- Il va en va de même pour les unions de boules du 2ième type (via la transformation de Legendre qui est un homéomorphisme (si  $F$  est une fonction de Legendre))

# Triangulations de Bregman

**Définition** : le nerf du diagramme de Bregman du 1er type

Primal space

Gradient space

1st type  $BVD(\mathcal{P})$  = Laguerre diagram of  $(\mathcal{P}')$

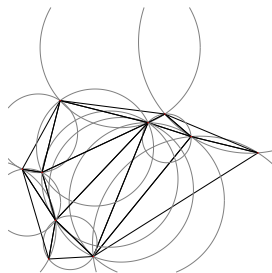
$\updownarrow$  \*

geodesic  $BT(\mathcal{P})$   $\leftrightarrow$  regular triangulation of  $(\mathcal{P}')$

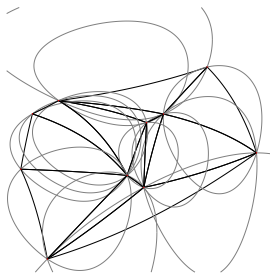
$\updownarrow$

$BT(\mathcal{P})$

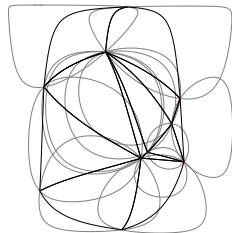
# Examples



(a) Ordinary Delaunay



(b) Exponential loss



(c) Hellinger-like divergence

# Propriétés des triangulations de Bregman

- La projection verticale de l'enveloppe convexe inférieure de  $\hat{\mathcal{P}}$  est une réalisation de  $BT(\mathcal{P})$  ( $\hat{\mathcal{P}}$  est le relèvement de  $\mathcal{P}$  sur le graphe  $\mathcal{F}$  de  $F$ )
  - **Propriété caractéristique** : La sphère de Bregman circonscrite à tout simplexe de  $BT(\mathcal{P})$  est vide
  - **Optimalité** :  $BT(\mathcal{P}) = \min_{T \in \mathcal{T}(\mathcal{P})} \max_{\tau \in T} r(\tau)$   
( $r(\tau)$  = radius of the smallest Bregman ball containing  $\tau$ )
- [Rajan]
- **Filtration** : on peut définir une filtration de Čech ou de Bregman (analogue à la filtration de Delaunay)

# Conclusion

- Bien que les divergences de Bregman ne soient pas des métriques, on peut étendre beaucoup de techniques de l'espace euclidien
- Une fois encore, les diagrammes de Laguerre se révèlent utiles
- Applications
  - ▶ *k*-moyennes : l'algorithme de Lloyd s'applique [Banerjee et al. 2005]
  - ▶ Plus petite boule englobante [Nielsen & Nock 2006]
  - ▶ Réduction de dimension [Carter 2009]
  - ▶ Analyse topologique des données ?